

하이브리드 스위칭 방식을 이용한 음성/데이터 집적 가입자 인터페이스의 설계

이 윤태, 이 명수, 강 창원
연세대학교 전자공학과

Design of an Integrated Voice/Data Subscriber Interface Using the Hybrid Switching

Yoon Tae Lee, Myong Soo Rhee, Chang Eon Kang
Dept. of Electronic Eng., Yonsei Univ.

이 논문에서는 음성 및 데이터를 집적시간 교환 방식은 기존의 회선 교환을 이용한 방식과 ARPANET의 개발과 함께 발달된 패킷 교환 방식으로 나누어져 연구되어 왔다. 음성 및 데이터가 집적된 회선 교환 방식은 전송 효율 및 interactive 데이터 처리의 문제점을, 패킷 교환 방식은 음성 패킷의 지연 및 분실 현상을 개선하기 위해 연구가 진행되고 있다. 이와 함께 1975년 Coviello는 각 교환 방식의 장점을 선택하여 SENET (Slotted Envel-

ope Network)을 제시하였다. 본 논문에서는 SENET 방식에 이동경계면 방식을 채택하여 실시간 전송 및 채널 이용률의 향상을 이루었다. 또 basic 인터페이스 모델을 모델로 하여 이 방식이 적용될 수 있는 가입자 인터페이스를 설계하였다.

2. 음성/데이터 집적 스위칭 방식

FCS (Fast Circuit Switching) 방식은 call-set up time 은 140 msec 이내로 제한하여 interactive data의 경우 duty cycle의 burst 주기에 관한 연결함으로써 전송 효율이 개선된다. 즉 250 msec이내의 지연 조건을 만족하는 특성의 데이터에 적합하고 음성의 경우는 상대적으로 호출 지속 시간이 길므로 지연 특성은 기존의 교환 방식과 차이가 없다. ECS (Enhanced Circuit Switching)은 음성과 데이터의 경우에

TASI 와 ADM 을 도입하여 대역폭을 압축시킨다. 즉 음성의 경우 채널 이용률이 평균 50% 이내로 제한되고

interactive data는 터미널에서 컴퓨터가 평균 1-5% 이고 그 이과량이 13-35% 이므로 음성의 silence 구간과 데이터의 idle 시간에 다른 가입자의 정보를 interpolation시킨다. 패킷 교환 방식에 음성을 집적시키기 위해 음성의 질의 악화와 에코 현상을 일으키는 지연을 최소화하기 위한 지연 변수의 최소화, 손실 패킷과 기각 패킷의 효율적 처리의 조건이 만족되어야 하는데 일반적으로 national common carrier 와 같이 음성

1. 서론
음성 및 데이터를 집적시간 교환 방식은 기존의 회선 교환을 이용한 방식과 ARPANET의 개발과 함께 발달된 패킷 교환 방식으로 나누어져 연구되어 왔다. 음성 및 데이터가 집적된 회선 교환 방식은 전송 효율 및 interactive 데이터 처리의 문제점을, 패킷 교환 방식은 음성 패킷의 지연 및 분실 현상을 개선하기 위해 연구가 진행되고 있다. 이와 함께 1975년 Coviello는 각 교환 방식의 장점을 선택하여 SENET (Slotted Envel-

링크의 갯수가 많은 시스템의 토폴로지에 적합하다.

3. 이동 경계면 하이브리드 스위칭 방식

TDM 을 이용하여 전송되는 정보의 class 를 분류한 후 실시간 전송이 요구되는 음성은 우선 교환을, inter active 데이터는 패킷 교환 방식을 적용한다. 이 때 음성은 blocking 모드로 동작하고 패킷은 규안되는데 호출이 안 된 음성 채널을 dynamic multiplexing 에 의해 액세스를 얻을 수 있다. 음성은 호출 시간 초 전용되며 패킷 데이터는 채널 결합을 통해 채널을 액세스하는데 dynamic 채널 결합에 의한 다-map 의 방식은 CCIS (Common Channel Interoffice Signaling) 에 의해 소개된 것이다. 이 방식에서는 교환 설비는 신호 부분과 데이터 부분 D 와 음성 부분 V 로 virtual 하게 구분된다. 음성 호출은 번호 λ_v 로 표시한 광모듈 이루어 시간 구간 D 를 넘어 전송이 불가능하다. 데이터 gating 적정이나 V 가 한에 호출되면 채널의 액세스가 가능하다. 데이터 패킷도 λ_d 의 번호를 갖는 광모듈 이루어 채널 시간 결합에 의해 트롯을 통하여 전송된다.

1. 이동경계면 하이브리드 스위칭의 해석적 모델

이동 경계면 하이브리드 스위칭 방식을 이용한 음성/데이터 결합 스위칭 방식의 성능 해석은 음성 blocking 확률, 버퍼 오버 플로우 확률, 시스템내의 평균 채널 이용률에 의해 이루어 진다.

음성 트래픽의 경우 Markov-S server 로 모델링되므로 Erlang's B 공식에 의해 음성 blocking 확률을 구한다.

$$P_s = \frac{\left(\frac{\lambda_v}{\mu_v}\right)^S / S!}{\sum_{k=0}^S \left(\frac{\lambda_v}{\mu_v}\right)^k / k!}$$

시스템내의 평균 패킷수는 음성 트래픽에 따라 가변하므로 2-dimensional ergodic Markov process의 모델을 적용할 수 있다. 상태 변화에 따른 데이터 트래픽의 process는 다음과 같은 차등 방정식이

$$P_{j+1} = AP_j + BP_{j-1}$$

성립한다.

이 경우 A,B는 상태 전이를 나타내는 계수로 다음과 같

$$\begin{aligned} \text{다. } a_{i,i+1} &= \frac{-(L+1)\mu_v}{(N-i)\mu_d} \\ a_{i,i} &= \begin{cases} \frac{\lambda_v + i\mu_v + \lambda_d + (N-i)\mu_d}{(N-i)\mu_d} \\ \frac{S\mu_v + \lambda_d + (N-S)\mu_d}{(N-S)\mu_d} \end{cases} \\ a_{i,i-1} &= \frac{-\lambda_v}{(N-i)\mu_d} \\ b_{i,i} &= \frac{-\lambda_d}{(N-i)\mu_d} \end{aligned}$$

유한 버퍼 시스템에서 $x_j = \begin{pmatrix} P_{j+1} \\ P_j \end{pmatrix}$ 이 임의의 n 차 음의 값을 만족한다

$$\begin{aligned} \sum_{j=0}^{M-1} x_j &= R^{-1} x_0 = \begin{bmatrix} \pi - P_0 \\ \pi - P_M \end{bmatrix} \\ P_0 &= (F_0^T F_3 - F_3^T F_1 + F_0^T - F_3^T A)^{-1} (F_3^T F_3 - F_3^T F_1) \pi \\ P_M &= F_0^T F_3 \pi + \pi - F_0^T F_3 P_0 - F_0^T P_0 \end{aligned}$$

다시 정리하면 $x_j = \begin{bmatrix} P_{j+1} \\ P_j \end{bmatrix} = Q^j x_0$ 이다.

$$\begin{aligned} \sum_{j=0}^{M-1} x_j &= Q \begin{bmatrix} \pi - P_0 \\ \pi - P_M \end{bmatrix} \\ Q &= (Q_1 + I)(\pi + P_0) + Q_2(\pi + P_M) \end{aligned}$$

유한 버퍼 시스템의 평균 패킷 수는 $P_j = R^j P_0$ 이고 $R^2 = AR + B$ 이고 R의 대각 성분은 diagonal 성분과 off-diagonal 성분

$$\begin{aligned} r_{ii} &= \frac{1}{2} \left\{ a_{ii} \pm \sqrt{a_{ii}^2 - 4 \left[\frac{a_{ij} a_{ji}}{r_{ii} + r_{jj}} (r_{ik} - a_{ik}) r_{ki} - b_{ii} \right]} \right\} \\ r_{ij} &= - \frac{\frac{a_{ij} a_{jk} r_{kj} + b_{ij} - \frac{a_{ik} r_{kj}}{r_{ii} + r_{jj}}}{r_{ii} + r_{jj}} - \frac{a_{ik} r_{kj}}{r_{ii} + r_{jj}}}{r_{ii} + r_{jj} - a_{ii}} \end{aligned}$$

$$Q = R(I-R)^{-1} \pi \text{ 에 대하여의 수해이다}$$

이 음성/데이터 결합 결합 인터페이스의 설계

하이브리드 스위칭 방식을 다중화 모뎀화 하기 위해 음성과 데이터의 결합 장치를 TDM highway 에 전송하기 위한 다중 모뎀을 제공하는 장치를 설계한다. CCIS 의 S/T 모뎀 규격에 의거하는 chip 을 선택하여 CB + D 채널의 인터페이스 라인저 controller 와 exchangecontroller, LIU(Line Interface Unit) 을 통해 Pseudo-ternary 전송 방식으로 잇밀링 전송이 가능하게 한다. 64 Kbps 의 B 채널은 음성과 패킷 데이터용, 16 Kbps의 D 채널은 신호 정보를 담당한다. RS 232-C 를 통한 패킷 데이터 단말과 채널 전송

속도와 성능을 위해 RAM 을 사용하며 LAPD 의 기능 일부와 계층 3 의 프로토콜을 지원하기 위하여 master CPU 를 탑재시킨다. CCITT 의 권고안에 따라 음성 정합장치와 local power 가 상실되었을 때 정전압을 공급하기 위하여 power controller 를 사용하였다.

6. 성능 분석

해석적 모델을 통하여 구한 식을 이용하여 이동 경계면 하이브리드 스위칭 방식의 음성 blocking 확률, 유한 버퍼와 무한 버퍼 시스템내의 평균 패킷 수, 버퍼 오버플로우 확률, 채널 이용률을 조사하였다. 음성 blocking 확률은 음성 process 의 marginal 확률에서 최대 스로트를 걸탈 때의 값이 된다. 또 무한 버퍼라고 가정할 때 고정 경계면 방식과 비교한 평균 패킷 수는 그림 (6-2)과 같다. 이러한 성능 분석에 대한 결과는 시스템 변수 채택의 근거가 된다.

7. 결 론

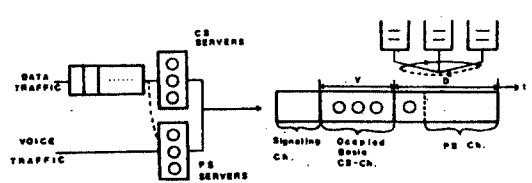
음성과 데이터를 전송 및 교환 시스템에 효율적으로 공유시키기 위하여 음성에는 실시간 전송이 가능하며 데이터에 대해서는 전송 효율 및 채널 이용률이 높은 이동 경계면 하이브리드 스위칭 방식을 채택하였다. 이 방법은 음성 호출이 없는 회선 교환용 채널용 패킷 데이터가 억세스함으로써 데이터의 지연 특성과 채널 이용률을 향상시킨다. 본 논문에서는 basic 인터페이스 구조를 모델로 하여 CCITT 권고안에 따라 제시한 방식을 구현할 수 있는 가입자 인터페이스를 설계하였다. 이러한 개념은 ISDN 의 하부 구조를 이루고 있는 기존의 네트워크와의 연동에도 적용된다.

참 고 문 헌

1. H. J. Ross, J. H. Gottschalk, E. A. Harrison, "An Architecture for a Flexible Integrated Voice/Data Switching System",

pp. 11.2.1 - 11.6.2, IEEE 1980.

2. E. Butler and P. H. Hoadley, "Integrated Voice/Data Switching Networks", IEEE Trans. on Comm., Vol. 28, pp. 1073-1080, 1980.
3. G. G. Bennett, "Bandwidth Allocation in a Packet Switched Network", IEEE Trans. on Comm., Vol. 28, pp. 1073-1080, 1980.
4. H. J. Ross, "A Flexible Architecture for an Integrated Voice/Data Switching System", IEEE Trans. on Comm., Vol. 28, pp. 1073-1080, 1980.
5. H. J. Ross, "A Flexible Architecture for an Integrated Voice/Data Switching System", IEEE Trans. on Comm., Vol. 28, pp. 1073-1080, 1980.
6. H. J. Ross, "A Flexible Architecture for an Integrated Voice/Data Switching System", IEEE Trans. on Comm., Vol. 28, pp. 1073-1080, 1980.
7. H. J. Ross, "A Flexible Architecture for an Integrated Voice/Data Switching System", IEEE Trans. on Comm., Vol. 28, pp. 1073-1080, 1980.
8. H. J. Ross, "A Flexible Architecture for an Integrated Voice/Data Switching System", IEEE Trans. on Comm., Vol. 28, pp. 1073-1080, 1980.
9. H. J. Ross, "A Flexible Architecture for an Integrated Voice/Data Switching System", IEEE Trans. on Comm., Vol. 28, pp. 1073-1080, 1980.
10. H. J. Ross, "A Flexible Architecture for an Integrated Voice/Data Switching System", IEEE Trans. on Comm., Vol. 28, pp. 1073-1080, 1980.
11. H. J. Ross, "A Flexible Architecture for an Integrated Voice/Data Switching System", IEEE Trans. on Comm., Vol. 28, pp. 1073-1080, 1980.
12. H. J. Ross, "A Flexible Architecture for an Integrated Voice/Data Switching System", IEEE Trans. on Comm., Vol. 28, pp. 1073-1080, 1980.
13. H. J. Ross, "A Flexible Architecture for an Integrated Voice/Data Switching System", IEEE Trans. on Comm., Vol. 28, pp. 1073-1080, 1980.
14. H. J. Ross, "A Flexible Architecture for an Integrated Voice/Data Switching System", IEEE Trans. on Comm., Vol. 28, pp. 1073-1080, 1980.
15. H. J. Ross, "A Flexible Architecture for an Integrated Voice/Data Switching System", IEEE Trans. on Comm., Vol. 28, pp. 1073-1080, 1980.
16. H. J. Ross, "A Flexible Architecture for an Integrated Voice/Data Switching System", IEEE Trans. on Comm., Vol. 28, pp. 1073-1080, 1980.
17. H. J. Ross, "A Flexible Architecture for an Integrated Voice/Data Switching System", IEEE Trans. on Comm., Vol. 28, pp. 1073-1080, 1980.
18. H. J. Ross, "A Flexible Architecture for an Integrated Voice/Data Switching System", IEEE Trans. on Comm., Vol. 28, pp. 1073-1080, 1980.
19. H. J. Ross, "A Flexible Architecture for an Integrated Voice/Data Switching System", IEEE Trans. on Comm., Vol. 28, pp. 1073-1080, 1980.
20. H. J. Ross, "A Flexible Architecture for an Integrated Voice/Data Switching System", IEEE Trans. on Comm., Vol. 28, pp. 1073-1080, 1980.



< 그림 1-1 > 이동 경계면 하이브리드 방식의 프레임 구조

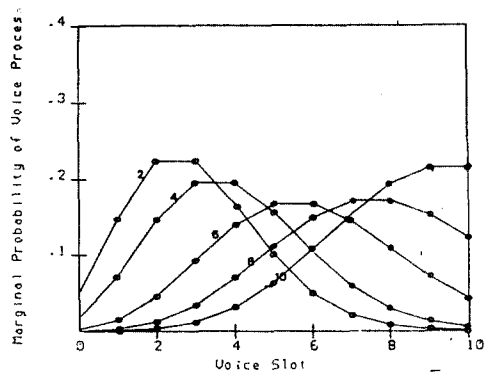


그림 6-1 유성 process 에 대한 marginal 확률

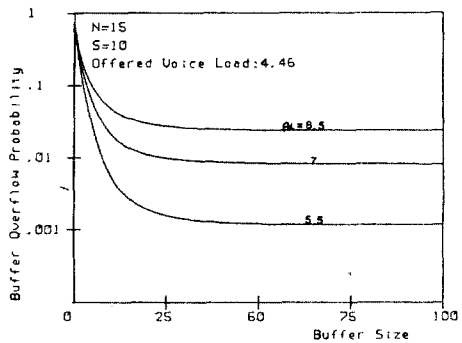


그림 6-2 유한 버퍼 시스템의 버퍼 오버 플로우 확률

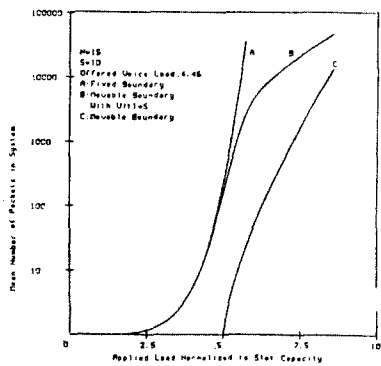


그림 6-3 무한 버퍼 시스템의 평균 패킷 수